

2018年10月18日 9時30分～10時
京都大学数理解析研究所

気泡流中の波動伝播に 初期流速が与える影響

- 前田泰希（筑波大・工学システム）
金川哲也（筑波大・システム情報）

目次

1. 背景と目的

2. 基礎方程式系

3. 周波数, 速度, 長さの大きさ

4. 多重尺度法

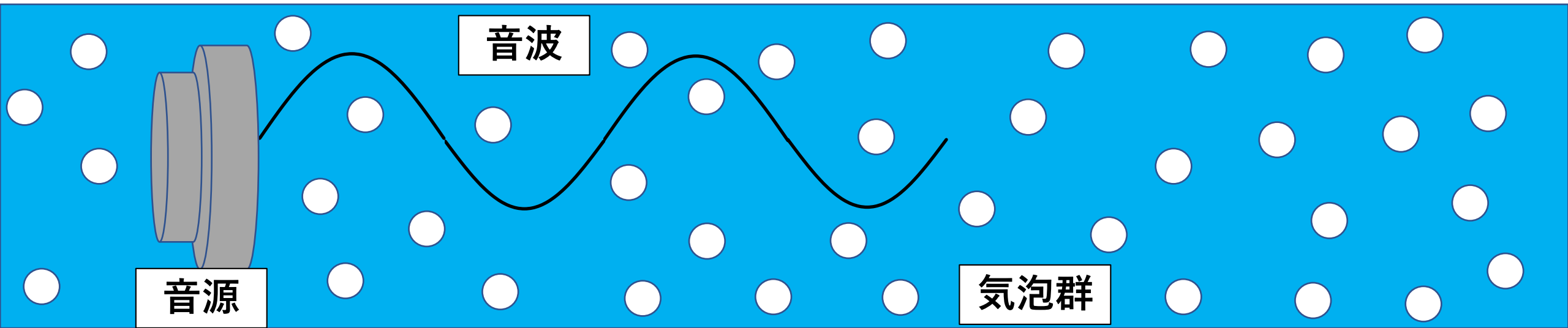
5. 結果 —近傍場における解析結果—

6. 結果 —遠方場における解析結果—

7. 結果 —KdVB方程式の導出—

8. まとめと展望

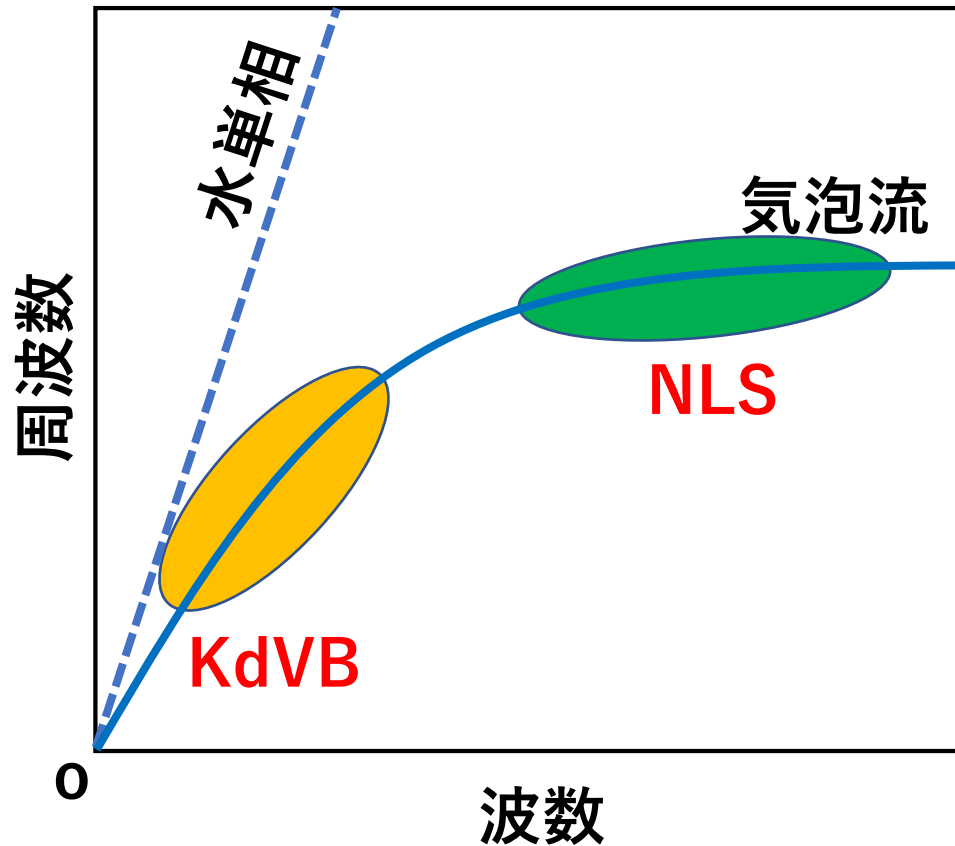
気泡を含む水中を伝播する音波



多数の気泡を含む水中の一次元音波における、
弱非線形理論解析

気泡の振動 → 波の分散性

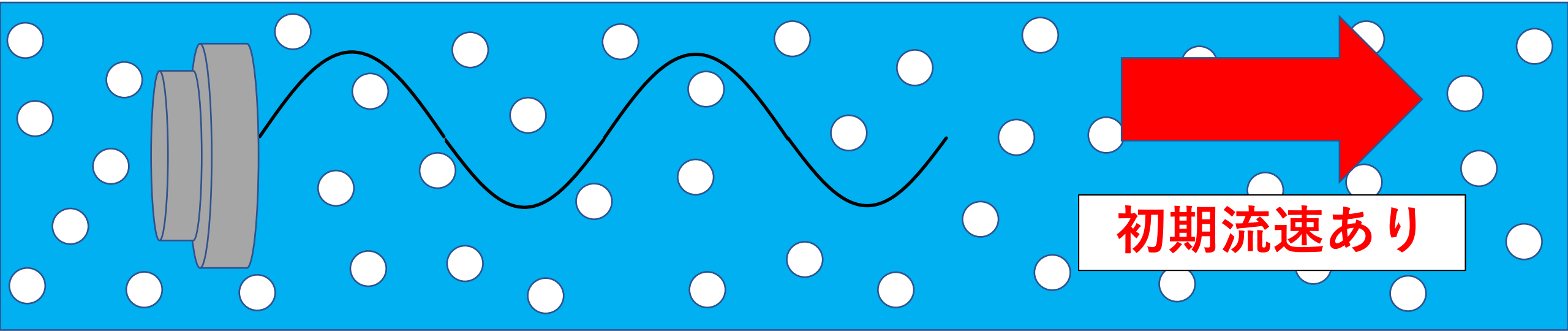
先行研究 (金川・矢野・渡部・藤川・J.Fluid Sci.Technol., 2010)



- 低周波数の長波の領域
→ **KdV-Burgers (KdVB) 方程式**
- 高周波数の短波の領域
→ **非線形Schrödinger (NLS) 方程式**

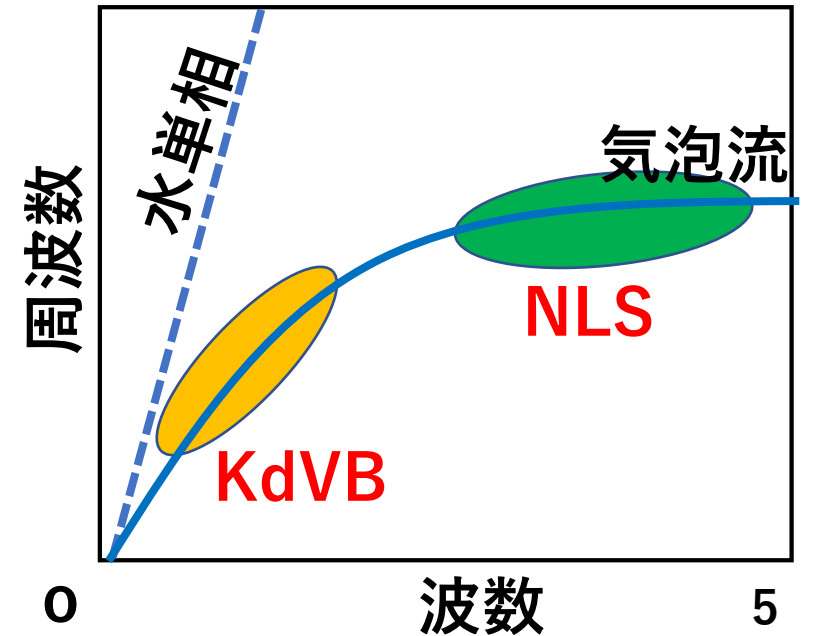
しかし、これらは気泡流が
初期**静止**状態を仮定している

本研究の目的



気泡流の初期流速を考慮

→ KdVB方程式を導出



目次

1. 背景と目的
- 2. 基礎方程式系**
3. 周波数, 速度, 長さの大きさ
4. 多重尺度法
5. 結果 —近傍場における解析結果—
6. 結果 —遠方場における解析結果—
7. 結果 —KdVB方程式の導出—
8. まとめと展望

二流体モデル (江頭ら, 2004)

1. 気相の質量保存式

$$\frac{\partial}{\partial t^*}(\alpha \rho_G^*) + \frac{\partial}{\partial x^*}(\alpha \rho_G^* u_G^*) = 0$$

2. 液相の質量保存式

$$\frac{\partial}{\partial t^*}[(1 - \alpha) \rho_L^*] + \frac{\partial}{\partial x^*}[(1 - \alpha) \rho_L^* u_L^*] = 0$$

3. 気相の運動量保存式

$$\frac{\partial}{\partial t^*}(\alpha \rho_G^* u_G^*) + \frac{\partial}{\partial x^*}(\alpha \rho_G^* u_G^{*2}) + \alpha \frac{\partial p_G^*}{\partial x^*} = F^*$$

4. 液相の運動量保存式

$$\frac{\partial}{\partial t^*}[(1 - \alpha) \rho_L^* u_L^*] + \frac{\partial}{\partial x^*}[(1 - \alpha) \rho_L^* u_L^{*2}] + (1 - \alpha) \frac{\partial p_L^*}{\partial x^*} + P^* \frac{\partial \alpha}{\partial x^*} = -F^*$$

*は有次元を表す

t : 時間 x : 空間座標

ρ : 密度 u : 流速

p : 圧力

G : 気相 L : 液相

二流体モデル (江頭ら, 2004)

1. 気相の質量保存式

$$\frac{\partial}{\partial t^*} (\alpha \rho_G^*) + \frac{\partial}{\partial x^*} (\alpha \rho_G^* u_G^*) = 0$$

2. 液相の質量保存式

$$\frac{\partial}{\partial t^*} [(1 - \alpha) \rho_L^*] + \frac{\partial}{\partial x^*} [(1 - \alpha) \rho_L^* u_L^*] = 0$$

3. 気相の運動量保存式

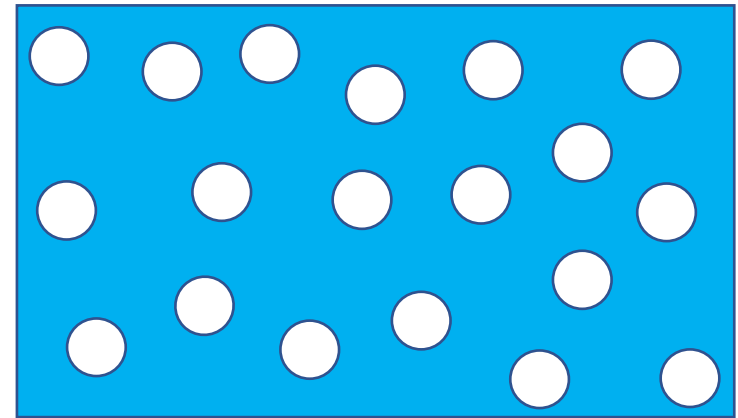
$$\frac{\partial}{\partial t^*} (\alpha \rho_G^* u_G^*) + \frac{\partial}{\partial x^*} (\alpha \rho_G^* u_G^{*2}) + \alpha \frac{\partial p_G^*}{\partial x^*} = F^*$$

4. 液相の運動量保存式

$$\frac{\partial}{\partial t^*} [(1 - \alpha) \rho_L^* u_L^*] + \frac{\partial}{\partial x^*} [(1 - \alpha) \rho_L^* u_L^{*2}] + (1 - \alpha) \frac{\partial p_L^*}{\partial x^*} + P^* \frac{\partial \alpha}{\partial x^*} = -F^*$$

α : 気相の体積分率
(ボイド率)

$$0 < \alpha < 1$$



付加質量力 (矢野ら, 2006)

3. 気相の運動量保存式

$$\frac{\partial}{\partial t^*} (\alpha \rho_G^* u_G^*) + \frac{\partial}{\partial x^*} (\alpha \rho_G^* u_G^{*2}) + \alpha \frac{\partial p_G^*}{\partial x^*} = \boxed{F^*}$$

4. 液相の運動量保存式

$$\frac{\partial}{\partial t^*} [(1 - \alpha) \rho_L^* u_L^*] + \frac{\partial}{\partial x^*} [(1 - \alpha) \rho_L^* u_L^{*2}] + (1 - \alpha) \frac{\partial p_L^*}{\partial x^*} + P^* \frac{\partial \alpha}{\partial x^*} = \boxed{-F^*}$$

F^* : 気相と液相間の付加質量力

$$F^* = -\beta_1 \alpha \rho_L^* \left(\frac{D_G u_G^*}{Dt^*} - \frac{D_L u_L^*}{Dt^*} \right) - \beta_2 \rho_L^* (u_G^* - u_L^*) \frac{D_G \alpha}{Dt^*} - \beta_3 \alpha (u_G^* - u_L^*) \frac{D_G \rho_L^*}{Dt^*}$$

気泡の運動方程式

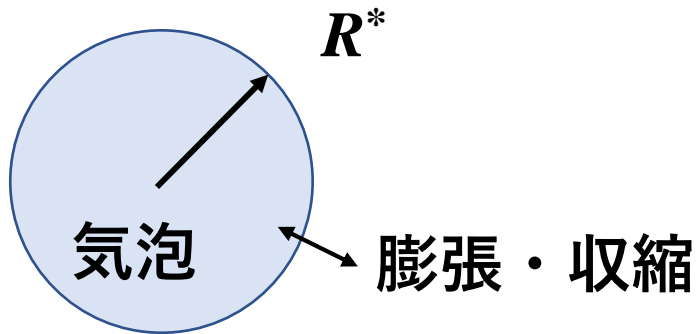
5. Keller式

$$\left(1 - \frac{1}{c_{L0}^*} \frac{D_G R^*}{Dt^*}\right) R^* \frac{D_G^2 R^*}{Dt^{*2}} + \frac{3}{2} \left(1 - \frac{1}{3c_{L0}^*} \frac{D_G R^*}{Dt^*}\right) \left(\frac{D_G R^*}{Dt^*}\right)^2$$

慣性項

$$= \left(1 - \frac{1}{c_{L0}^*} \frac{D_G R^*}{Dt^*}\right) \frac{P^*}{\rho_{L0}^*} + \frac{R^*}{\rho_{L0}^* c_{L0}^*} \frac{D_G}{Dt^*} (p_L^* + P^*)$$

減衰項



R : 気泡半径

c_{L0} : 液単相での水中音速

圧縮性の水

構成式

6. 液相の状態方程式 (Tait式)

$$p_L^* = p_{L0}^* + \frac{\rho_{L0}^* c_{L0}^{*2}}{n} \left[\left(\frac{\rho_L^*}{\rho_{L0}^*} \right)^n - 1 \right]$$

7. 気相のポリトロープ状態方程式

$$\frac{p_G^*}{p_{G0}^*} = \left(\frac{\rho_G^*}{\rho_{G0}^*} \right)^\gamma$$

8. 気泡内気体の質量保存式

$$\frac{\rho_G^*}{\rho_{G0}^*} = \left(\frac{R_0^*}{R^*} \right)^3$$

9. 気液界面における応力のつりあい式

$$p_G^* + (p_L^* + P^*) = \frac{2\sigma^*}{R^*} + \frac{4\mu^* D_G R^*}{R^* Dt^*}$$

n : 物質定数

γ : ポリトロープ指数

σ : 表面張力

μ : 液体の粘性係数

基礎方程式系

9本の強非線形方程式

気相の質量保存式, 液相の質量保存式
気相の運動量保存式, 液相の運動量保存式
Kellerの式
液相の状態方程式, 気相の状態方程式
気泡内気体の質量保存式
気液界面における圧力のつりあい式



1本の弱非線形方程式

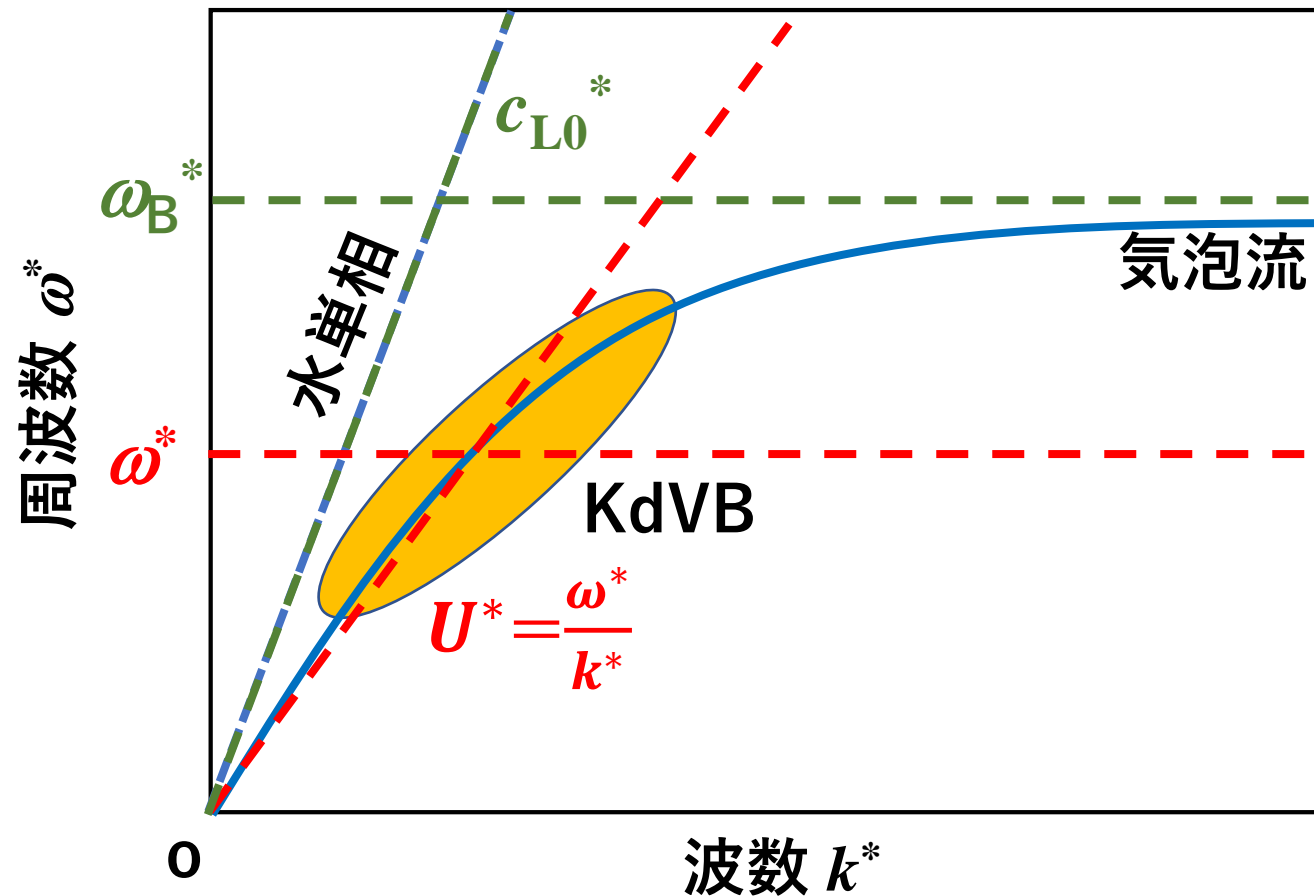
KdVB方程式

目次

1. 背景と目的
2. 基礎方程式系
3. 周波数, 速度, 長さの大きさ
4. 多重尺度法
5. 結果 —近傍場における解析結果—
6. 結果 —遠方場における解析結果—
7. 結果 —KdVB方程式の導出—
8. まとめと展望

周波数と速度の大きさを決定（金川ら，2010）

波の入射周波数 ω^* ，位相速度 U^* に対して，大きさを定める



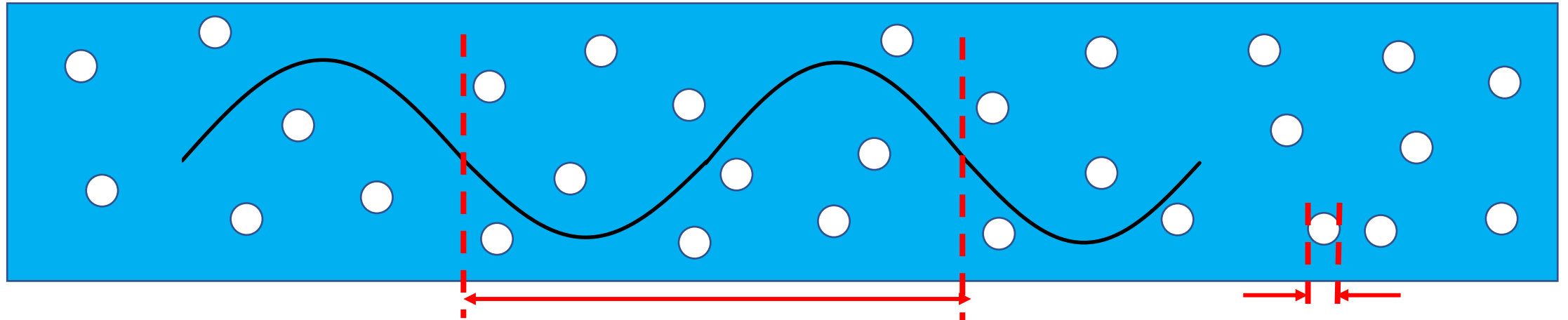
周波数： $\omega^* \ll \omega_B^*$

速度： $U^* \ll c_{L0}^*$

ω_B ：気泡の固有周波数

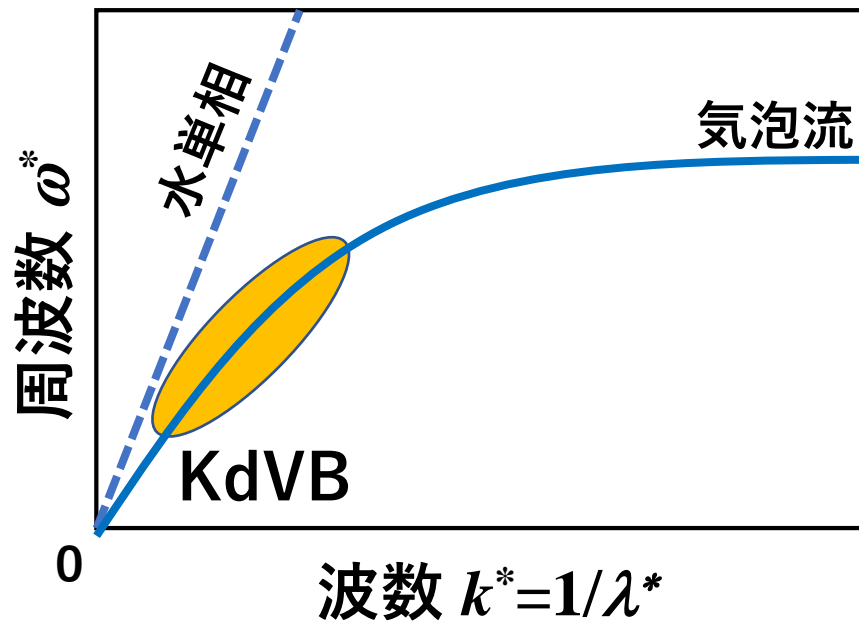
長さの大きさの決定 (金川ら, 2010)

波の波長 λ^* に対して, 大きさを定める



波長 λ^*

気泡径 $2R_0^*$



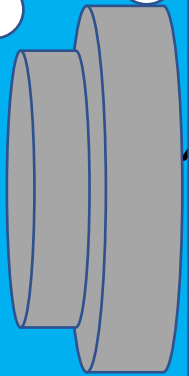
長さ : $R_0^* \ll \lambda^*$

目次

1. 背景と目的
2. 基礎方程式系
3. 周波数, 速度, 長さの大きさ
- 4. 多重尺度法**
5. 結果 —近傍場における解析結果—
6. 結果 —遠方場における解析結果—
7. 結果 —KdVB方程式の導出—
8. まとめと展望

多重尺度法 (e.g., Jeffrey&Kawahara, 1982)

波の無次元振幅 ε ($\varepsilon \ll 1$) を導入し,
近傍場と遠方場を表す



近傍場
 $O(1)$
5波長程度

$$t_0 = t$$
$$x_0 = x$$

遠方場
 $O(1/\varepsilon)$
100波長程度

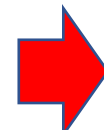
$$t_1 = \varepsilon t$$
$$x_1 = \varepsilon x$$

摂動展開

気相と液相の速度は、**初期流速**から展開する

$$\frac{u_G^*}{U^*} = \boxed{u_{G0}} + \varepsilon u_{G1} + \varepsilon^2 u_{G2} + \dots$$

$$\frac{u_L^*}{U^*} = \boxed{u_{L0}} + \varepsilon u_{L1} + \varepsilon^2 u_{L2} + \dots$$

 初期静止状態を仮定した、
先行研究との違いであり、
本解析最大の特徴

従属変数の展開（一部）

$$\frac{\alpha}{\alpha_0} = 1 + \varepsilon \alpha_1 + \varepsilon^2 \alpha_2 + \dots$$

$$\frac{R^*}{R_0^*} = 1 + \varepsilon R_1 + \varepsilon^2 R_2 + \dots$$

目次

1. 背景と目的
2. 基礎方程式系
3. 周波数, 速度, 長さの大きさ
4. 多重尺度法
5. **結果 —近傍場における解析結果—**
6. 結果 —遠方場における解析結果—
7. 結果 —KdVB方程式の導出—
8. まとめと展望

近傍場：気相の質量保存式

- 先行研究

$$\frac{\partial \alpha_1}{\partial t_0} - 3 \frac{\partial R_1}{\partial t_0} + \frac{\partial u_{G1}}{\partial x_0} = 0$$

- 本研究

$$\frac{D_G \alpha_1}{Dt_0} - 3 \frac{D_G R_1}{Dt_0} + \frac{\partial u_{G1}}{\partial x_0} = 0$$

$$\frac{D_G}{Dt_0} \equiv \frac{\partial}{\partial t_0} + u_{G0} \frac{\partial}{\partial x_0}$$

Lagrange微分に変化

近傍場：気相の運動量保存式

- 先行研究

$$\beta_1 \left(\frac{\partial u_{G1}}{\partial t_0} - \frac{\partial u_{L1}}{\partial t_0} \right) - 3\gamma p_{G0} \frac{\partial R_1}{\partial x_0} = 0$$

- 本研究

$$\beta_1 \left(\frac{D_G u_{G1}}{Dt_0} - \frac{D_L u_{L1}}{Dt_0} \right) + \beta_2 (u_{G0} - u_{L0}) \frac{D_G \alpha_1}{Dt_0} - 3\gamma p_{G0} \frac{\partial R_1}{\partial x_0} = 0$$

Lagrange微分に変化新たな項の出現

近傍場：気泡の運動方程式

$$R_1 + \frac{\Omega^2}{\Delta^2} p_{L1} = 0$$

初期流速 u_{G0} や u_{L0} を含まない



近傍場では気泡壁の運動が初期流速の影響を受けない

近傍場：線形波動方程式

初期一様流 ($u_{G0}=u_{L0}=u_0$) を仮定



線形波動方程式を導出

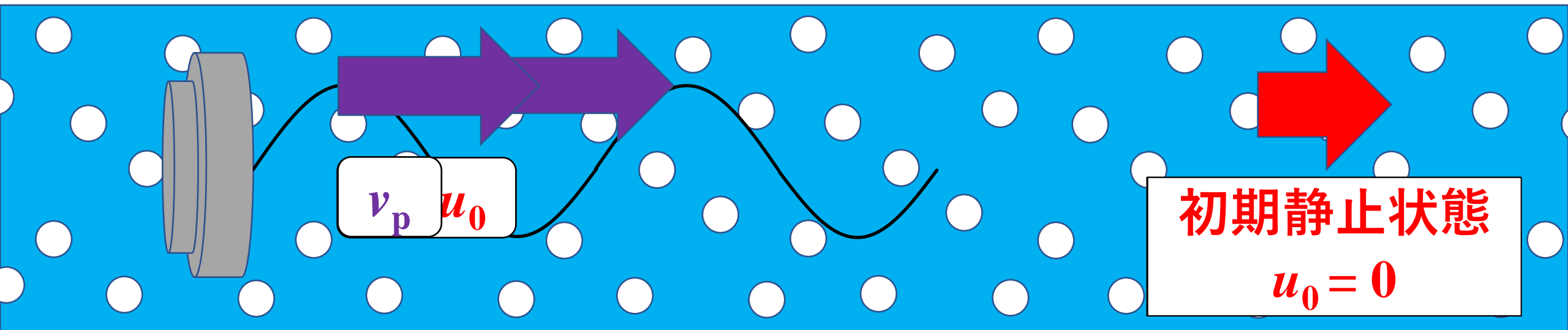
$$\frac{\partial^2 R_1}{\partial t_0^2} + \boxed{2u_0^2 \frac{\partial^2 R_1}{\partial t_0 \partial x_0}} + (u_0^2 - v_p^2) \frac{\partial^2 R_1}{\partial x_0^2} = 0$$

t_0 と x_0 の2階偏導関数の項の出現

近傍場：右向き進行波の波動方程式

$$\frac{\partial R_1}{\partial t_0} + (u_0 + v_p) \frac{\partial R_1}{\partial x_0} = 0$$

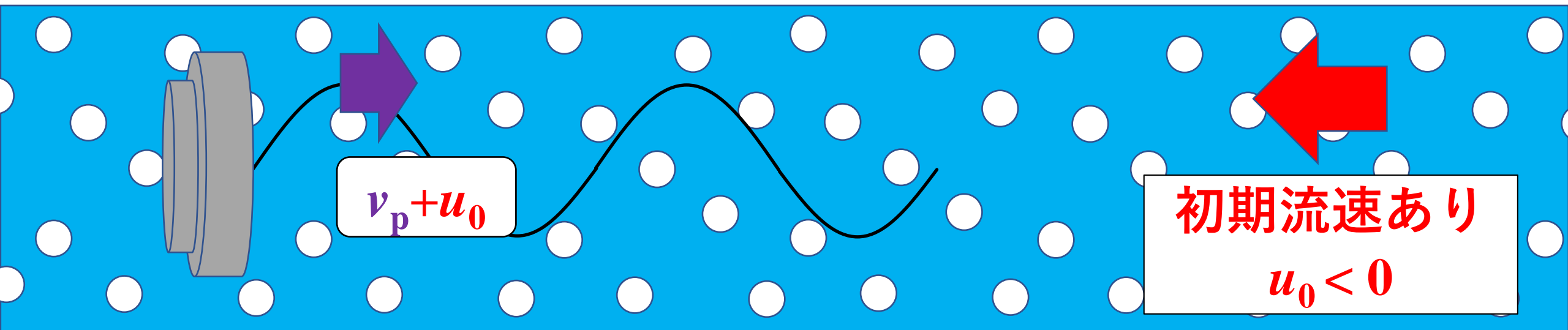
初期流速 u_0 だけ音速 v_p が増減



近傍場：右向き進行波の波動方程式

$$\frac{\partial R_1}{\partial t_0} + (u_0 + v_p) \frac{\partial R_1}{\partial x_0} = 0$$

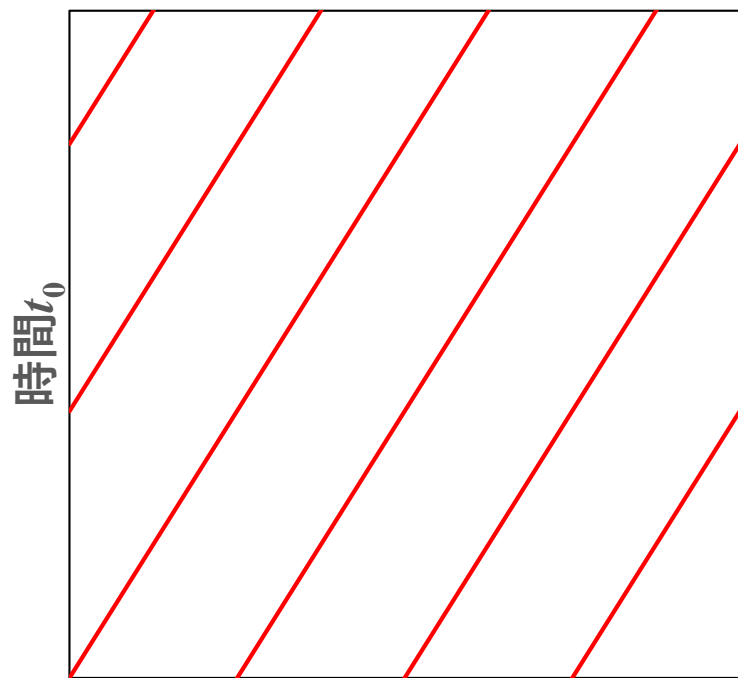
初期流速 u_0 だけ音速 v_p が増減



近傍場：特性曲線

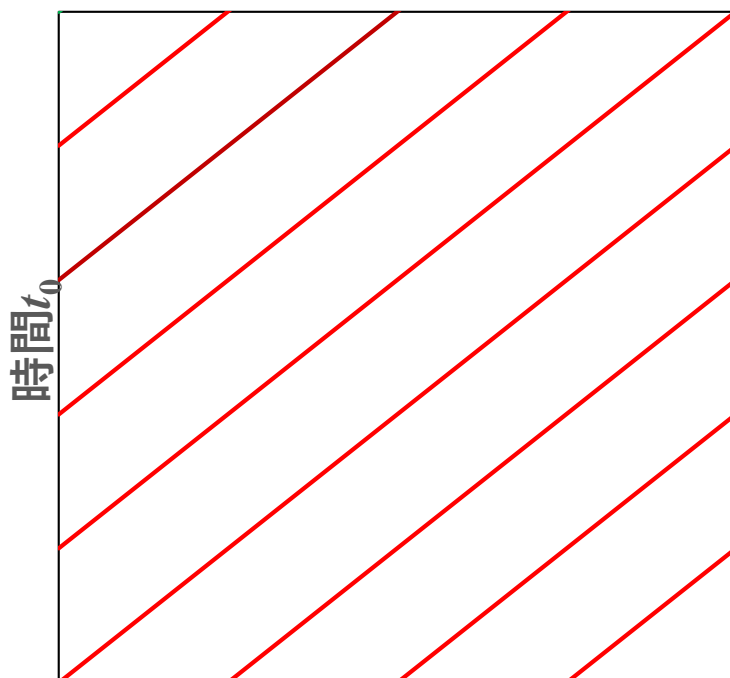
$$\varphi_0 = x_0 - (u_0 + v_p)t_0$$

$$u_0 = -0.5$$



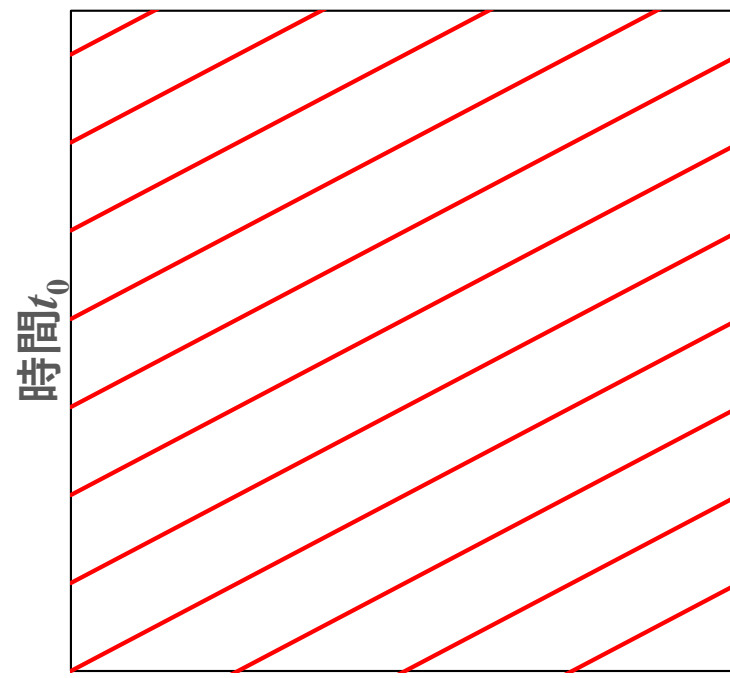
空間座標 x_0

$$u_0 = 0$$



空間座標 x_0

$$u_0 = 0.5$$



空間座標 x_0

目次

1. 背景と目的
2. 基礎方程式系
3. 周波数, 速度, 長さの大きさ
4. 多重尺度法
5. 結果 —近傍場における解析結果—
- 6. 結果 —遠方場における解析結果—**
7. 結果 —KdVB方程式の導出—
8. まとめと展望

遠方場：質量保存式と運動量保存式

1. 気相の質量保存式

$$\frac{D_G \alpha_2}{Dt_0} - 3 \frac{D_G R_2}{Dt_0} + \frac{\partial u_{G2}}{\partial x_0} = K_1$$

非同次項の出現

2. 液相の質量保存式

$$\alpha_0 \frac{D_L \alpha_2}{Dt_0} - (1 - \alpha_0) \frac{\partial u_{L2}}{\partial x_0} = K_2$$

3. 気相の運動量保存式

$$\beta_1 \left(\frac{D_G u_{G2}}{Dt_0} - \frac{D_L u_{L2}}{Dt_0} \right) + \beta_2 (u_{G0} - u_{L0}) \frac{D_G \alpha_2}{Dt_0} - 3\gamma p_{G0} \frac{\partial R_2}{\partial x_0} = K_3$$

Lagrange微分に変化

4. 液相の運動量保存式

$$(1 - \alpha_0) \frac{D_L u_{L2}}{Dt_0} - \alpha_0 \beta_1 \left(\frac{D_G u_{G2}}{Dt_0} - \frac{D_L u_{L2}}{Dt_0} \right) - \alpha_0 \beta_2 (u_{G0} - u_{L0}) \frac{D_G \alpha_2}{Dt_0} - \alpha_0 u_{L0} \frac{D_L \alpha_2}{Dt_0} + u_{L0} (1 - \alpha_0) \frac{\partial u_{L2}}{\partial x_0} + (1 - \alpha_0) \frac{\partial p_{L2}}{\partial x_0} = K_4$$

新たな項の出現

遠方場：気泡の運動方程式

$$R_2 + \frac{\Omega^2}{\Delta^2} p_{L2} = K_5$$

非同次項 K_5 は初期流速 u_{G0} を含む



遠方場では気泡壁の運動が気相の初期流速の影響を受ける

遠方場：弱非線形波動方程式

初期一様流 ($u_{G0}=u_{L0}=u_0$) を仮定



弱非線形波動方程式を導出

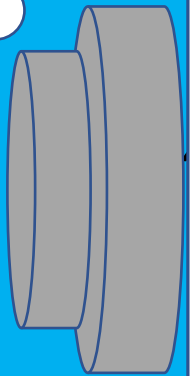
$$\frac{\partial^2 R_2}{\partial t_0^2} + 2u_0^2 \frac{\partial^2 R_2}{\partial t_0 \partial x_0} + (u_0^2 - v_p^2) \frac{\partial^2 R_2}{\partial x_0^2} = K(R_1; t_1, x_1, \varphi_0)$$

非同次項 K には**非線形項**を含む

目次

1. 背景と目的
2. 基礎方程式系
3. 周波数, 速度, 長さの大きさ
4. 多重尺度法
5. 結果 —近傍場における解析結果—
6. 結果 —遠方場における解析結果—
- 7. 結果 —KdVB方程式の導出—**
8. まとめと展望

近傍場と遠方場を結合



近傍場と遠方場を包含する
KdVB方程式

KdVB方程式

$$\frac{\partial R_1}{\partial \tau} + \Pi_1 R_1 \frac{\partial R_1}{\partial \xi} + \Pi_2 \frac{\partial^2 R_1}{\partial \xi^2} + \Pi_3 \frac{\partial^3 R_1}{\partial \xi^3} = 0$$

新たな独立変数

$$\tau \equiv \varepsilon t$$

$$\xi \equiv x - (\boxed{u_0 + v_p} + \varepsilon \Pi_0) t$$

初期流速 u_0 分だけ音速 v_p が補正されている

KdVB方程式

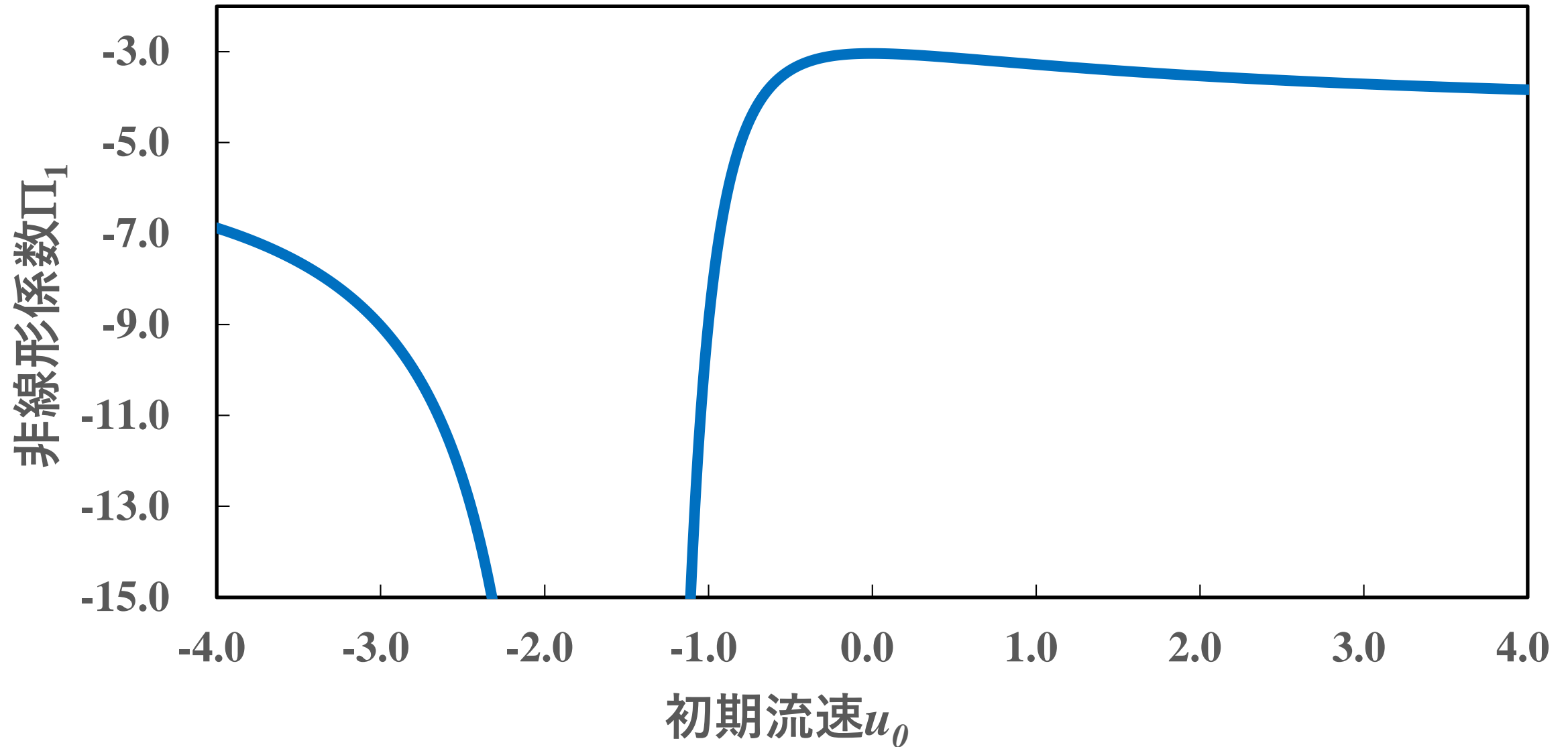
$$\frac{\partial R_1}{\partial \tau} + \boxed{\Pi_1 R_1 \frac{\partial R_1}{\partial \xi}} + \boxed{\Pi_2 \frac{\partial^2 R_1}{\partial \xi^2}} + \boxed{\Pi_3 \frac{\partial^3 R_1}{\partial \xi^3}} = 0$$

非線形 散逸 分散

初期流速の影響を含まない

非線形係数 Π_1 と初期流速 u_0 には
どのような関係があるのか？

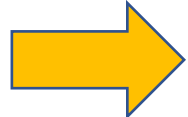
非線形係数 Π_1 と u_0 の関係



初期流速 u_0 はマッハ数 M と等価

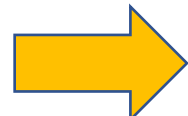
流速の摂動展開：

$$\frac{u^*}{U^*} = u_0 + \varepsilon u_1 + \varepsilon^2 u_2 + \dots$$

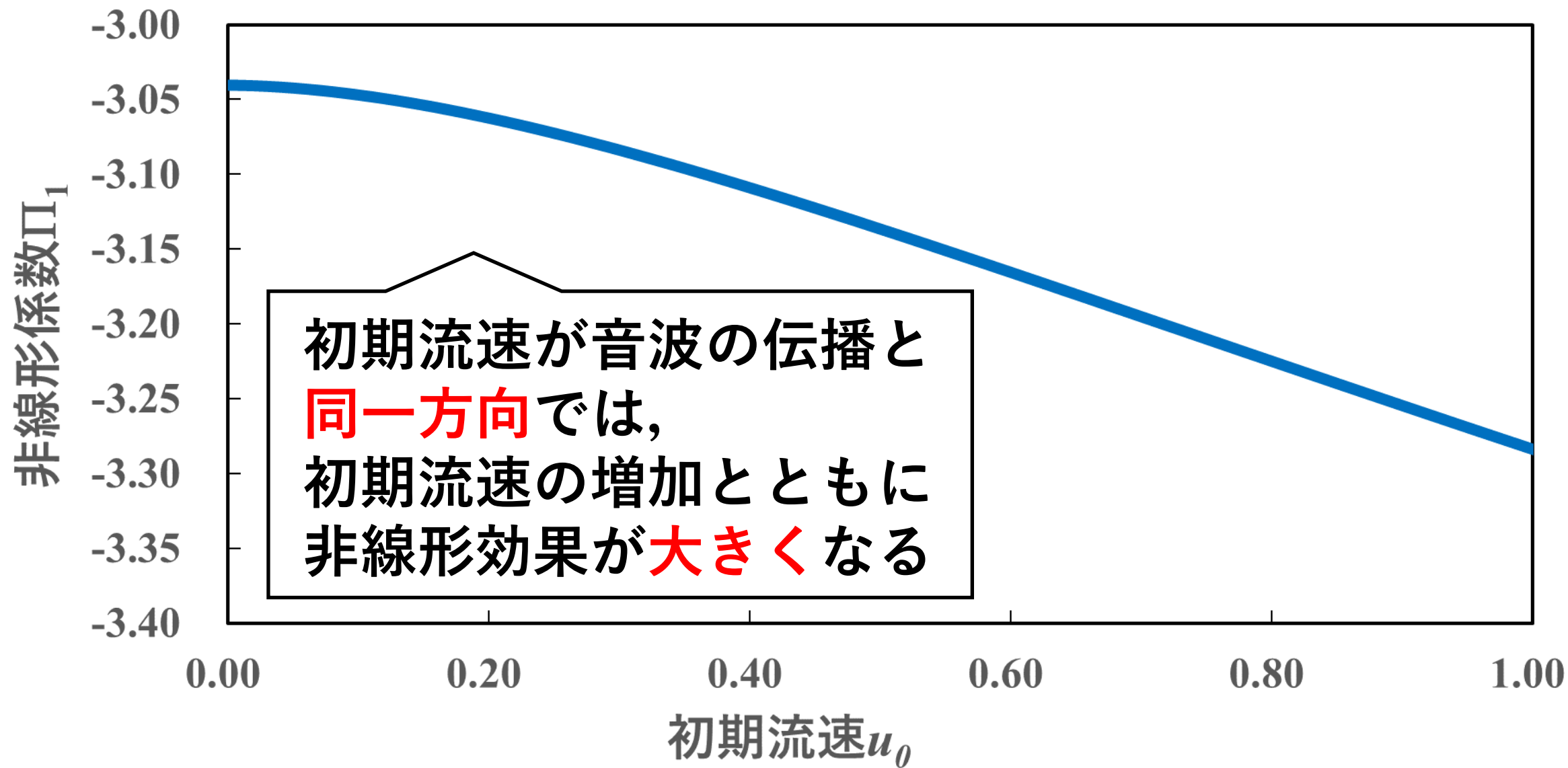
 $u_0 \approx \frac{u^*}{U^*}$ $u_0 = 0.1$ のとき $u^* = 10$ m/s
 $u_0 = 1.0$ のとき $u^* = 100$ m/s

マッハ数：

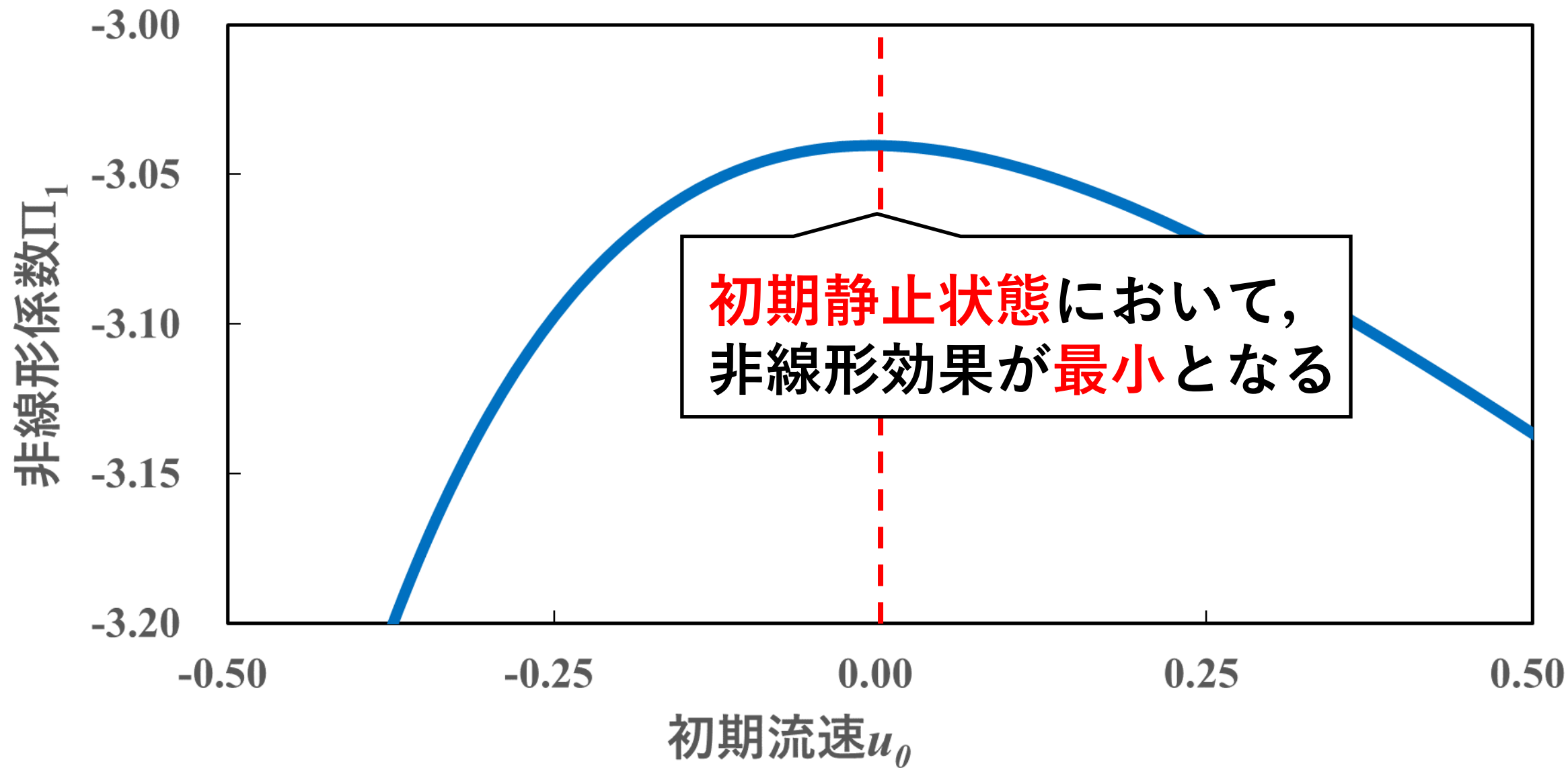
$$M \equiv \frac{u^*}{U^*}$$

 $u_0 \approx M$

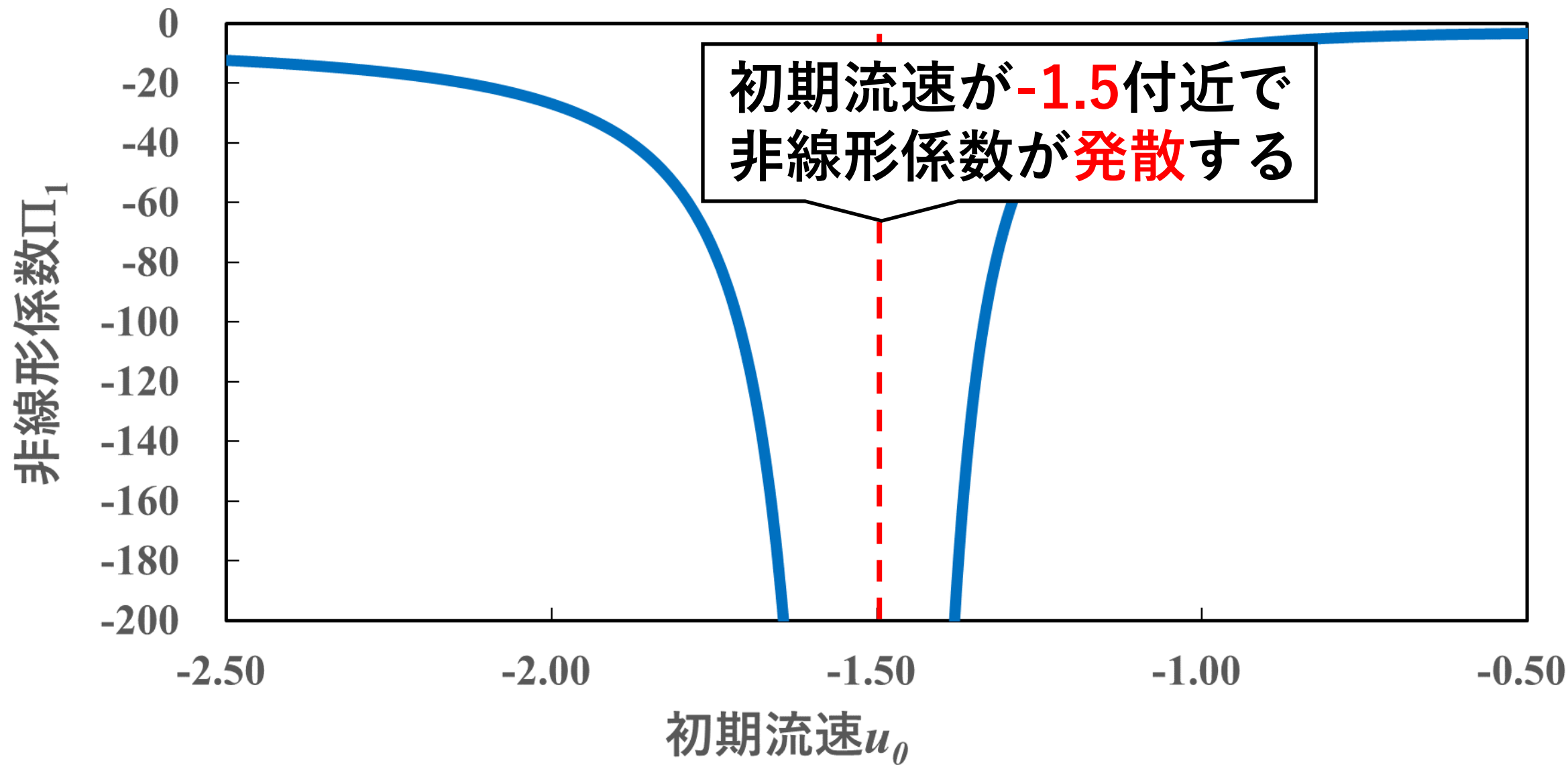
非線形係数 Π_1 と u_0 の関係 $-u_0 > 0-$



非線形係数 Π_1 と u_0 の関係 $-u_0 \approx 0-$



非線形係数 Π_1 と u_0 の関係 $-u_0 < 0$



目次

1. 背景と目的
2. 基礎方程式系
3. 周波数, 速度, 長さの大きさ
4. 多重尺度法
5. 結果 —近傍場における解析結果—
6. 結果 —遠方場における解析結果—
7. 結果 —KdVB方程式の導出—
- 8. まとめと展望**

まとめ

- 初期流速が存在する場合におけるKdVB方程式を導出した

$$\frac{\partial R_1}{\partial \tau} + \Pi_1 R_1 \frac{\partial R_1}{\partial \xi} + \Pi_2 \frac{\partial^2 R_1}{\partial \xi^2} + \Pi_3 \frac{\partial^3 R_1}{\partial \xi^3} = 0$$

- 非線形効果は初期流速の影響を受け、初期流速が存在すると、非線形効果が大きくなる
- 移動座標系 ξ は初期流速 u_0 分だけ音速 v_p が補正される

$$\xi \equiv x - (u_0 + v_p + \varepsilon \Pi_0) t$$

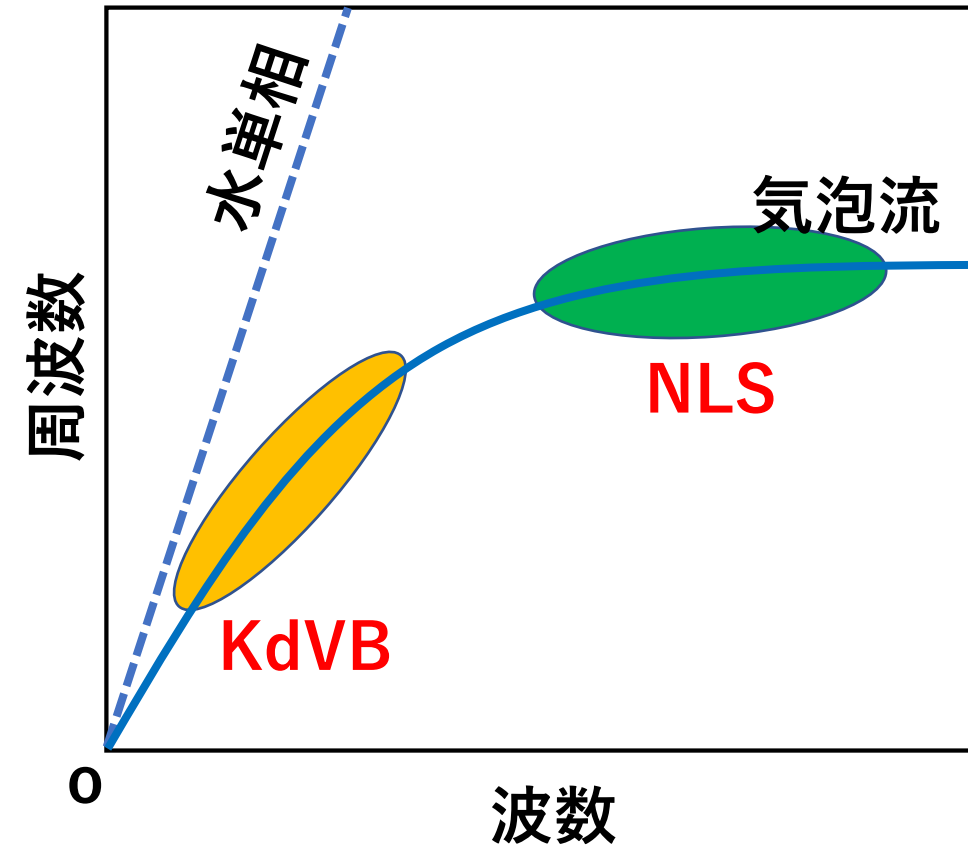
まとめ

$$\frac{\partial R_1}{\partial \tau} + \Pi_1 R_1 \frac{\partial R_1}{\partial \xi} + \Pi_2 \frac{\partial^2 R_1}{\partial \xi^2} + \Pi_3 \frac{\partial^3 R_1}{\partial \xi^3} = 0$$

初期流速をゼロの極限をとることにより、
先行研究に一致ことから、
上記のKdVB方程式はより一般的なKdVB方程式である

展望

- 本解析で導出されたKdVB方程式の解を**数值的**に求め、音波の波形を調べる
- **初期流速が存在**する場合において、**高周波数の短波**の領域における、**非線形Schrödinger**方程式を導出



ご清聴ありがとうございました

従属変数の摂動展開とスケーリング

- 従属変数の摂動展開

$$\frac{\alpha}{\alpha_0} = 1 + \epsilon\alpha_1 + \epsilon^2\alpha_2 + \dots$$

$$\frac{u_G^*}{U^*} = u_{G0} + \epsilon u_{G1} + \epsilon^2 u_{G2} + \dots$$

$$\frac{u_L^*}{U^*} = u_{L0} + \epsilon u_{L1} + \epsilon^2 u_{L2} + \dots$$

$$\frac{R^*}{R_0^*} = 1 + \epsilon R_1 + \epsilon^2 R_2 + \dots$$

$$\frac{\rho_G^*}{\rho_{G0}^*} = 1 + \epsilon\rho_{G1} + \epsilon^2\rho_{G2} + \dots$$

$$\frac{p_G^*}{p_{G0}^*} = 1 + \epsilon p_{G1} + \epsilon^2 p_{G2} + \dots$$

$$\frac{p_L^*}{\rho_{L0}^* U^{*2}} = p_{L0} + \epsilon p_{L1} + \epsilon^2 p_{L2} + \dots$$

$$\frac{P^*}{\rho_{L0}^* U^{*2}} = P_0 + \epsilon P_1 + \epsilon^2 P_2 + \dots$$

- 初期圧力・密度比・液体の粘性係数のスケーリング

$$\frac{p_{G0}^*}{\rho_{L0}^* U^{*2}} \equiv O(1) \quad \frac{p_{L0}^*}{\rho_{L0}^* U^{*2}} \equiv O(1) \quad \frac{\rho_{G0}^*}{\rho_{L0}^*} \equiv O(\epsilon^3) \quad \frac{\mu^*}{\rho_{L0}^* U^* L^*} \equiv O(\epsilon)$$

近郊場：質量保存式

- 気相の質量保存式

$$\frac{D_G \alpha_1}{Dt_0} - 3 \frac{D_G R_1}{Dt_0} + \frac{\partial u_{G1}}{\partial x_0} = 0$$

- 液相の質量保存式

$$\alpha_0 \frac{D_L \alpha_1}{Dt_0} - (1 - \alpha_0) \frac{\partial u_{L1}}{\partial x_0} = 0$$

近郊場：運動量保存式

- 気相の運動量保存式

$$\beta_1 \left(\frac{D_G u_{G1}}{Dt_0} - \frac{D_L u_{L1}}{Dt_0} \right) + \beta_2 (u_{G0} - u_{L0}) \frac{D_G \alpha_1}{Dt_0} - 3\gamma p_{G0} \frac{\partial R_1}{\partial x_0} = 0$$

- 液相の運動量保存式

$$(1 - \alpha_0) \frac{D_L u_{L1}}{Dt_0} - \alpha_0 \beta_1 \left(\frac{D_G u_{G1}}{Dt_0} - \frac{D_L u_{L1}}{Dt_0} \right) - \alpha_0 \beta_2 (u_{G0} - u_{L0}) \frac{D_G \alpha_1}{Dt_0} \\ - \alpha_0 u_{L0} \frac{D_L \alpha_1}{Dt_0} + u_{L0} (1 - \alpha_0) \frac{\partial u_{L1}}{\partial x_0} + (1 - \alpha_0) \frac{\partial p_{L1}}{\partial x_0} = 0$$

近傍場：その他の従属変数

$$\alpha_1 \equiv s_1 R_1$$

$$u_{G1} \equiv s_2 R_1$$

$$u_{L1} \equiv s_3 R_1$$

$$p_{L1} \equiv s_4 R_1$$

$$s_1 = \frac{(1 - \alpha_0)[3\beta_1 \alpha_0 v_p^2 - (1 - \alpha_0)s_4]}{\alpha_0 v_p [(u_0 + v_p)(1 - \alpha_0) + \beta_1 v_p]}$$

$$s_2 = (s_1 - 3)v_p$$

$$s_3 = -\frac{\alpha_0}{1 - \alpha_0} v_p s_1$$

$$s_4 = -\frac{\Delta^2}{\Omega^2}$$

遠方場：気相の質量保存式

$$\frac{D_G \alpha_2}{Dt_0} - 3 \frac{D_G R_2}{Dt_0} + \frac{\partial u_{G2}}{\partial x_0} = K_1$$

$$K_1 = 3 \frac{D_G R_1}{Dt_1} - \frac{D_G \alpha_1}{Dt_1} - \frac{\partial u_{G1}}{\partial x_1} + 3 \frac{D_G \alpha_1 R_1}{Dt_0} - 12 R_1 \frac{D_G R_1}{Dt_0} + 3 \frac{\partial R_1 u_{G1}}{\partial x_0} - \frac{\partial \alpha_1 u_{G1}}{\partial x_0}$$

遠方場：液相の質量保存式

$$\alpha_0 \frac{D_L \alpha_2}{Dt_0} - (1 - \alpha_0) \frac{\partial u_{L2}}{\partial x_0} = K_2$$

$$K_2 = -\alpha_0 \frac{D_L \alpha_1}{Dt_1} + (1 - \alpha_0) \frac{\partial u_{L1}}{\partial x_1} + (1 - \alpha_0) \frac{D_L \rho_{L1}}{Dt_0} - \alpha_0 \frac{\partial \alpha_1 u_{L1}}{\partial x_0}$$

遠方場：気相の運動量保存式

$$\beta_1 \left(\frac{D_G u_{G2}}{Dt_0} - \frac{D_L u_{L2}}{Dt_0} \right) + \beta_2 (u_{G0} - u_{L0}) \frac{D_G \alpha_2}{Dt_0} - 3\gamma p_{G0} \frac{\partial R_2}{\partial x_0} = K_3$$

遠方場：気相の運動量保存式

$$\begin{aligned} K_3 = & -\beta_1 \left(\frac{D_G u_{G1}}{Dt_1} - \frac{D_L u_{L1}}{Dt_1} \right) - \beta_2 (u_{G0} - u_{L0}) \frac{D_G \alpha_1}{Dt_1} + 3\gamma p_{G0} \frac{\partial R_1}{\partial x_1} \\ & - \beta_1 \alpha_1 \left(\frac{D_G u_{G1}}{Dt_0} - \frac{D_L u_{L1}}{Dt_0} \right) - \beta_1 \left(u_{G1} \frac{\partial u_{G1}}{\partial x_0} - u_{L1} \frac{\partial u_{L1}}{\partial x_0} \right) \\ & - \beta_2 (u_{G0} - u_{L0}) u_{G1} \frac{\partial \alpha_1}{\partial x_0} - \beta_2 (u_{G1} - u_{L1}) \frac{D_G \alpha_1}{Dt_0} \\ & - \beta_3 (u_{G0} - u_{L0}) \frac{D_G \rho_{L1}}{Dt_0} + 3\gamma p_{G0} \left[\alpha_1 \frac{\partial R_1}{\partial x_0} - (3\gamma + 1) R_1 \frac{\partial R_1}{\partial x_0} \right] \end{aligned}$$

遠方場：液相の運動量保存式

$$(1 - \alpha_0) \frac{D_L u_{L2}}{Dt_0} - \alpha_0 \beta_1 \left(\frac{D_G u_{G2}}{Dt_0} - \frac{D_L u_{L2}}{Dt_0} \right) - \alpha_0 \beta_2 (u_{G0} - u_{L0}) \frac{D_G \alpha_2}{Dt_0} - \alpha_0 u_{L0} \frac{D_L \alpha_2}{Dt_0} + u_{L0} (1 - \alpha_0) \frac{\partial u_{L2}}{\partial x_0} + (1 - \alpha_0) \frac{\partial p_{L2}}{\partial x_0} = K_4$$

遠方場：液相の運動量保存式の解析結果

$$\begin{aligned}
 K_4 = & - (1 - \alpha_0) \frac{D_L u_{L1}}{Dt_1} + \alpha_0 \beta_1 \left(\frac{D_G u_{G1}}{Dt_1} - \frac{D_L u_{L1}}{Dt_1} \right) + \alpha_0 \beta_2 (u_{G0} - u_{L0}) \frac{D_G \alpha_1}{Dt_1} \\
 & + \alpha_0 u_{L0} \frac{D_L \alpha_1}{Dt_1} - u_{L0} (1 - \alpha_0) \frac{\partial u_{L1}}{\partial x_1} - (1 - \alpha_0) \frac{\partial p_{L1}}{\partial x_1} \\
 & - u_{L0} (1 - \alpha_0) \frac{D_L \rho_{L1}}{Dt_0} + \alpha_0 \frac{D_L \alpha_1 u_{L1}}{Dt_0} + \alpha_0 u_{L0} \frac{\partial \alpha_1 u_{L1}}{\partial x_0} - 2u_{L1} (1 - \alpha_0) \frac{\partial u_{L1}}{\partial x_0} \\
 & + \alpha_0 \alpha_1 \frac{\partial p_{L1}}{\partial x_0} + \alpha_0 \alpha_1 \beta_1 \left(\frac{D_G u_{G1}}{Dt_0} - \frac{D_L u_{L1}}{Dt_0} \right) \\
 & + \alpha_0 \beta_1 \left(u_{G1} \frac{\partial u_{G1}}{\partial x_0} - u_{L1} \frac{\partial u_{L1}}{\partial x_0} \right) + \alpha_0 \beta_2 (u_{G0} - u_{L0}) u_{G1} \frac{\partial \alpha_1}{\partial x_0} \\
 & + \alpha_0 \beta_2 (u_{G1} - u_{L1}) \frac{D_G \alpha_1}{Dt_0} + \alpha_0 \beta_3 (u_{G0} - u_{L0}) \frac{D_G \rho_{L1}}{Dt_0}
 \end{aligned}$$

遠方場：Keller式

$$R_2 + \frac{\Omega^2}{\Delta^2} p_{L2} = K_5$$

$$K_5 = \left[1 + \frac{3\gamma(3\gamma - 1)p_{G0}\Omega^2}{2\Delta^2} \right] R_1^2 - \Omega^2 \frac{D_G^2 R_1}{Dt_0^2} - \left(\frac{4\mu\Omega^2}{\Delta^2} + V\Delta \right) \frac{D_G R_1}{Dt_0}$$

遠方場：弱非線形波動方程式

$$\frac{D^2 R_2}{Dt_0^2} - v_p^2 \frac{\partial^2 R_2}{\partial x_0^2} = K$$

$$K = 2v_p \frac{\partial}{\partial \varphi_0} \left[\frac{\partial R_1}{\partial t_1} + (v_p + u_0) \frac{\partial R_1}{\partial x_1} + \Pi_0 \frac{\partial R_1}{\partial \varphi_0} + \Pi_1 R_1 \frac{\partial R_1}{\partial \varphi_0} + \Pi_2 \frac{\partial^2 R_1}{\partial \varphi_0^2} + \Pi_3 \frac{\partial^3 R_1}{\partial \varphi_0^3} \right]$$

遠方場：弱非線形波動方程式

$$\Pi_0 = -\frac{v_p(1-\alpha_0)\Delta^2 V^2}{6\alpha_0\Omega^2}$$

$$\Pi_1 = \frac{1}{6} \left[k_1 - \frac{1}{\alpha_0} k_2 + \frac{1-\alpha_0+\beta_1}{v_p(1-\alpha_0)\beta_1} k_3 + \frac{1}{v_p\alpha_0(1-\alpha_0)} k_4 - \frac{2\Delta^2}{v_p\alpha_0\Omega^2} k_5 \right]$$

$$\Pi_2 = -\frac{1}{6\alpha_0} \left(4\mu + \frac{V\Delta^3}{\Omega^2} \right)$$

$$\Pi_3 = \frac{\Delta^2}{6\alpha_0}$$

遠方場：弱非線形波動方程式

$$k_1 = -6v_p(s_1 - 2) - 2s_2(s_1 - 3)$$

$$k_2 = -2\alpha_0 s_1 s_3$$

$$k_3 = \hat{k} + 3\gamma p_{G0}(s_1 - 3\gamma - 1)$$

$$k_4 = -\alpha_0 \hat{k} - 2(1 - \alpha_0)s_3^2 + \alpha_0 s_1 s_4 - 2\alpha_0 v_p s_1 s_3$$

$$k_5 = 1 + \frac{3\gamma(3\gamma - 1)p_{G0}\Omega^2}{2\Delta^2}$$

$$\hat{k} = v_p(\beta_1 + \beta_2)s_1(s_2 - s_3) - \beta_1(s_2^2 - s_3^2)$$

遠方場：弱非線形波動方程式

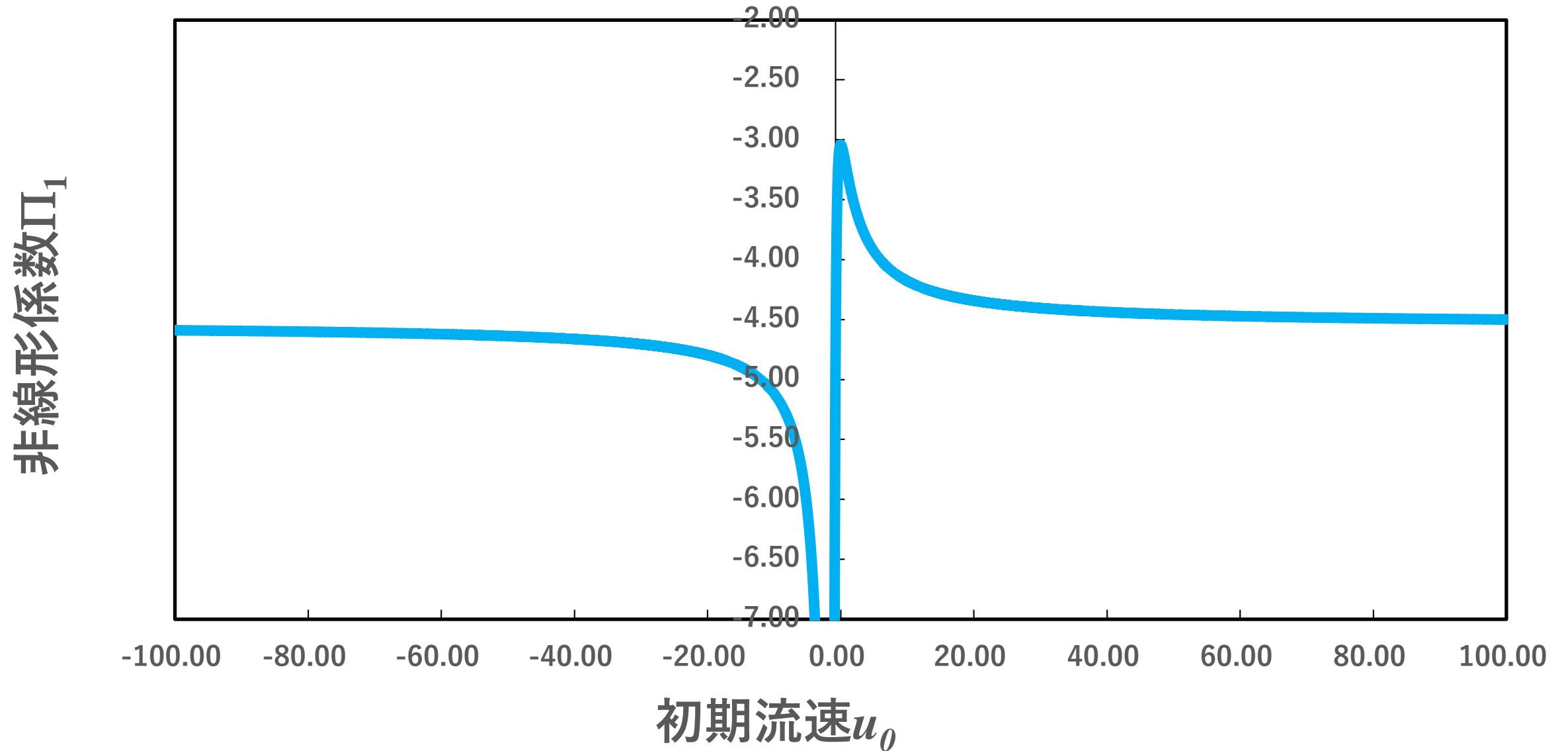
$$s_1 = \frac{(1 - \alpha_0)[3\beta_1\alpha_0v_p^2 - (1 - \alpha_0)s_4]}{\alpha_0v_p[(u_0 + v_p)(1 - \alpha_0) + \beta_1v_p]}$$

$$s_2 = (s_1 - 3)v_p$$

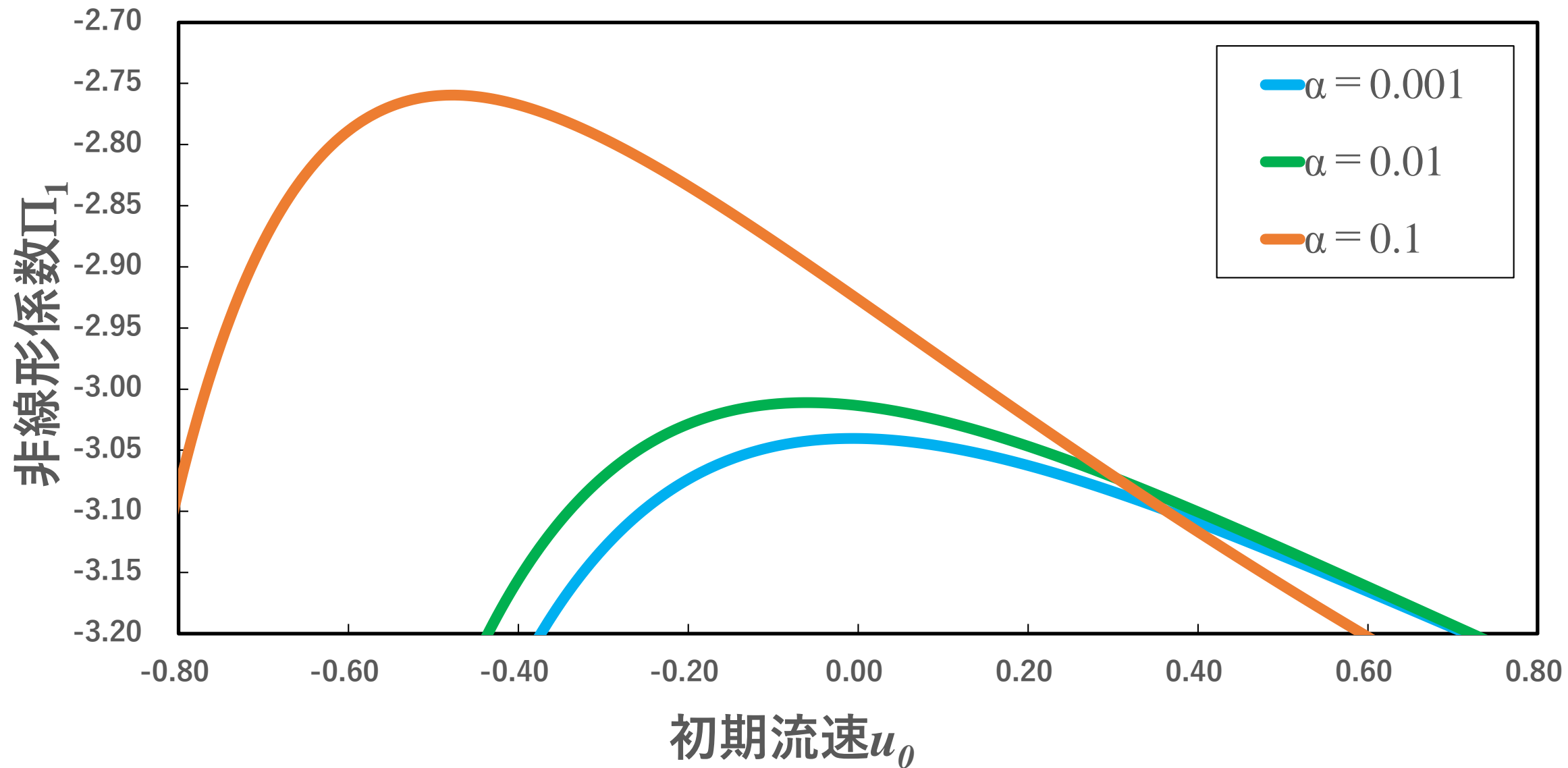
$$s_3 = -\frac{\alpha_0}{1 - \alpha_0}v_p s_1$$

$$s_4 = -\frac{\Delta^2}{\Omega^2}$$

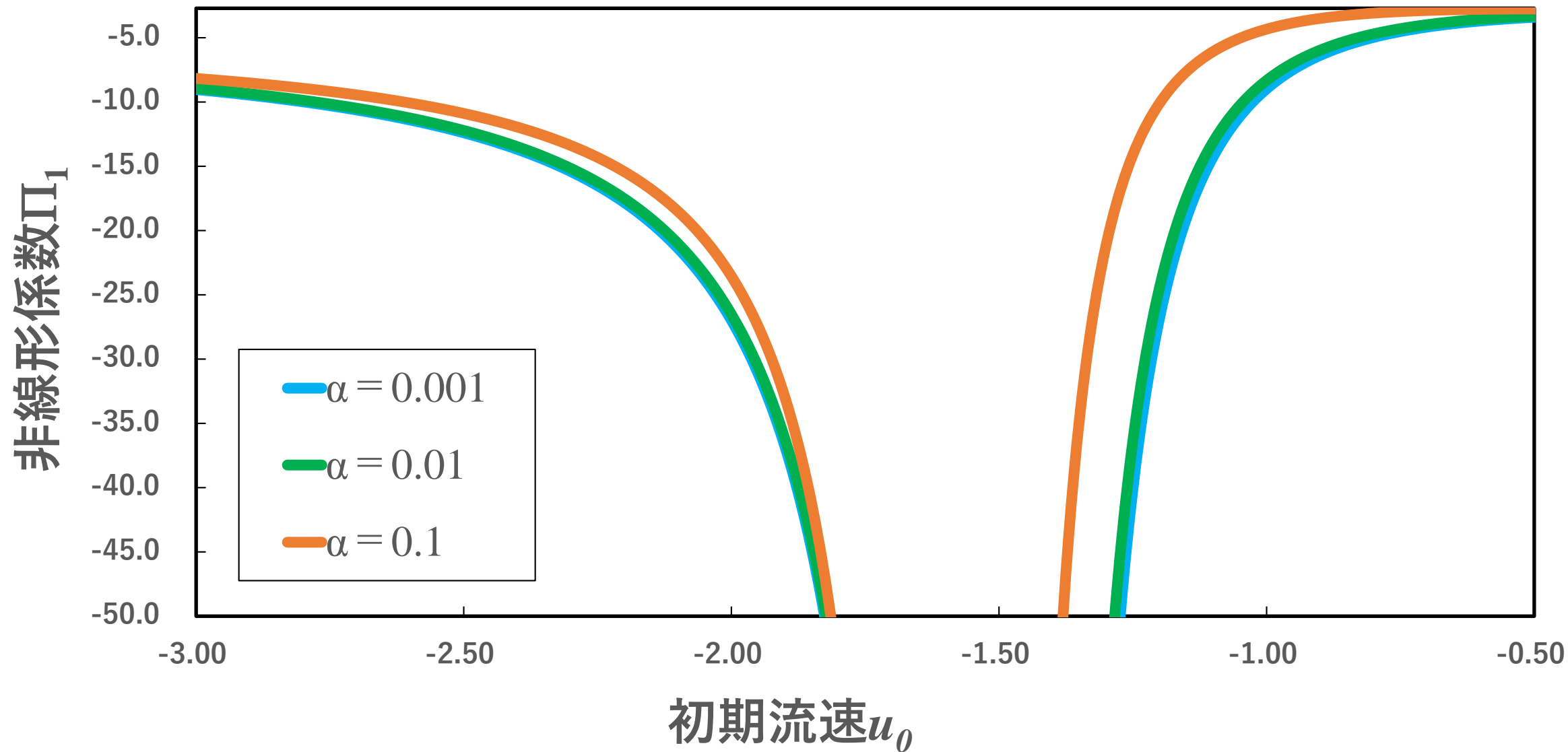
非線形係数 Π_1 と u_0 の関係



非線形係数 Π_1 と u_0 の関係



非線形係数 Π_1 と u_0 の関係



気泡の固有角周波数 ω_B^* のスケーリング

$$\omega_B^* \equiv \sqrt{\frac{3\gamma(p_{L0}^* + 2\sigma^*/R_0^*) - 2\sigma^*/R_0^*}{\rho_{L0}^* R_0^{*2}}}$$

$$p_{L0}^* = 101325 \text{ Pa}, \quad \rho_{L0}^* = 10^3 \text{ kg/m}^3, \quad \sigma^* = 0.0728 \text{ N/m}, \quad \gamma = 1$$

$$R_0^* = 10 \text{ mm}$$



$$\omega_B^* \doteq 1.7 \text{ KHz}$$

$$R_0^* = 10 \text{ }\mu\text{m}$$



$$\omega_B^* \doteq 1.8 \text{ MHz}$$

$$R_0^* = 10 \text{ nm}$$



$$\omega_B^* \doteq 17 \text{ GHz}$$

音源の入射周波数 ω^* のスケーリング

$$\frac{\omega^*}{\omega_B^*} \equiv \Omega \sqrt{\epsilon}$$

$$\Omega = 1, \quad \sqrt{\epsilon} = 0.15$$

$R_0^* = 10 \text{ mm}$



$\omega^* \doteq 0.26 \text{ KHz}$

$R_0^* = 10 \text{ }\mu\text{m}$



$\omega^* \doteq 0.27 \text{ MHz}$

$R_0^* = 10 \text{ nm}$



$\omega^* \doteq 2.6 \text{ GHz}$

波の代表速度 U^* のスケーリング

$$U^* = \sqrt{\frac{3\alpha_0(1 - \alpha_0 + \beta_1)\gamma p_{G0}^*/\rho_{L0}^* + \beta_1(1 - \alpha_0)R_0^{*2}\omega_B^{*2}}{3\beta_1\alpha_0(1 - \alpha_0)}}$$

$$\alpha_0 = 0.01, \quad \beta_1 = 1/2$$

$R_0^* = 10 \text{ mm}$  $U^* \doteq 102 \text{ m/s}$

$R_0^* = 10 \text{ }\mu\text{m}$  $U^* \doteq 107 \text{ m/s}$

$R_0^* = 10 \text{ nm}$  $U^* \doteq 1012 \text{ m/s}$

波の波長 λ^* のスケーリング

$$\lambda^* = \frac{U^*}{\omega^*}$$

$$R_0^* = 10 \text{ mm}$$



$$\lambda^* \doteq 0.39 \text{ m}$$

$$R_0^* = 10 \text{ }\mu\text{m}$$



$$\lambda^* \doteq 0.39 \text{ mm}$$

$$R_0^* = 10 \text{ nm}$$



$$\lambda^* \doteq 0.39 \text{ }\mu\text{m}$$

非線形係数 Π_1 のスケーリング

$$\Pi_1 = \frac{1}{6} \left[k_1 - \frac{1}{\alpha_0} k_2 + \frac{1 - \alpha_0 + \beta_1}{v_p(1 - \alpha_0)\beta_1} k_3 + \frac{1}{v_p\alpha_0(1 - \alpha_0)} k_4 - \frac{2\Delta^2}{v_p\alpha_0\Omega^2} k_5 \right]$$

$R_0^* = 10 \text{ mm}$



$\Pi_1 \doteq 3.09$

$R_0^* = 10 \text{ }\mu\text{m}$



$\Pi_1 \doteq 3.31$

$R_0^* = 10 \text{ nm}$



$\Pi_1 \doteq 3.55$

